

「包括的技術報告書」 誤記等 修正対応表

2025年7月2日 修正箇所

英語版

章	ページ	位置 (行など)	修正前	修正後
4	4-30	Figure 4.4-2	後記の「第4章 Figure4.4-2の修正対応表」参照	後記の「第4章 Figure4.4-2の修正対応表」参照
4	4-43	上から10行目	Kunigel <u>IV</u>	Kunigel <u>V1</u>
4	4-107	Figure 4.5-23	後記の「第4章 Figure4.5-23の修正対応表」参照	後記の「第4章 Figure4.5-23の修正対応表」参照
4	4-108	Table 4.5-20	後記の「第4章 Table4.5-20の修正対応表」参照	後記の「第4章 Table4.5-20の修正対応表」参照
6	6-14	Table 6.1-5	後記の「第6章 Table6.1-5の修正対応表」参照	後記の「第6章 Table6.1-5の修正対応表」参照
6	6-125	Figure 6.4-20	核種移行プロセスモデルと 被ばくプロセスモデルの図のうち、後者のみを記載	核種移行プロセスモデルの図を追加

「包括的技術報告書」 誤記等 修正対応表

2025年7月2日

本編英語版第4章 Figure 4.4-2 の修正対応表

修正前 (誤)

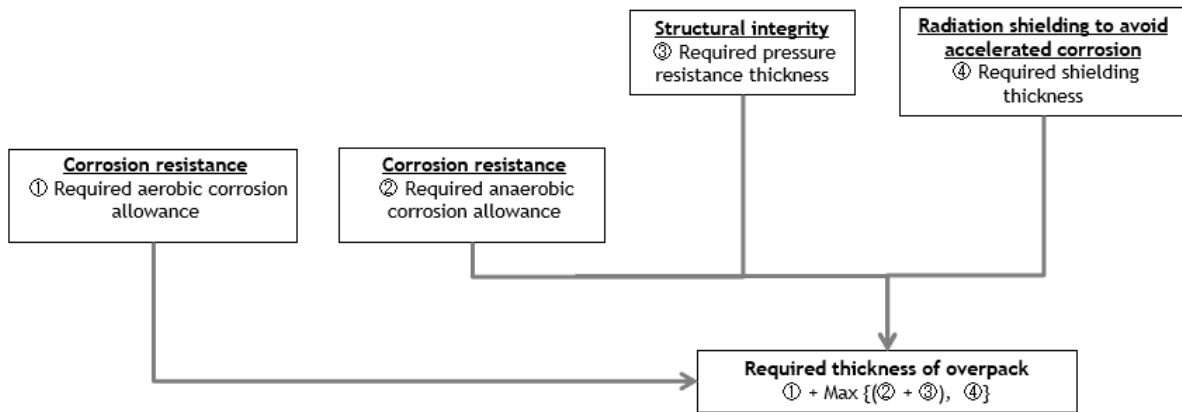


Figure 4.4-2 Setting overpack thickness

修正後 (正)

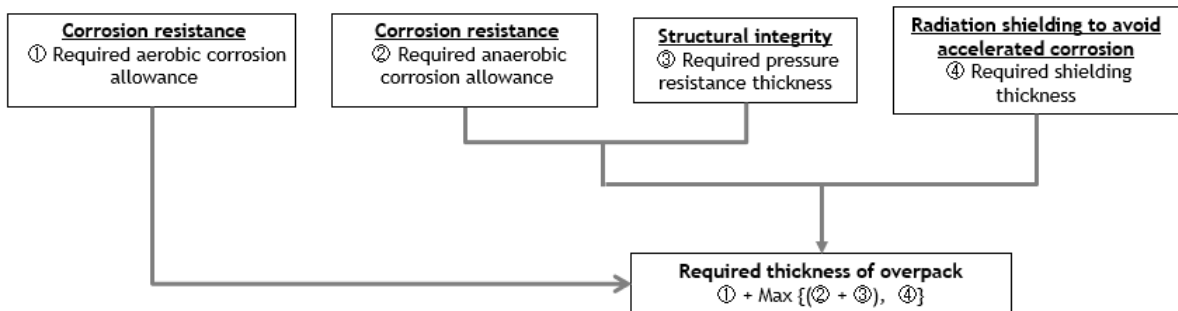


Figure 4.4-2 Setting overpack thickness

修正前 (誤)

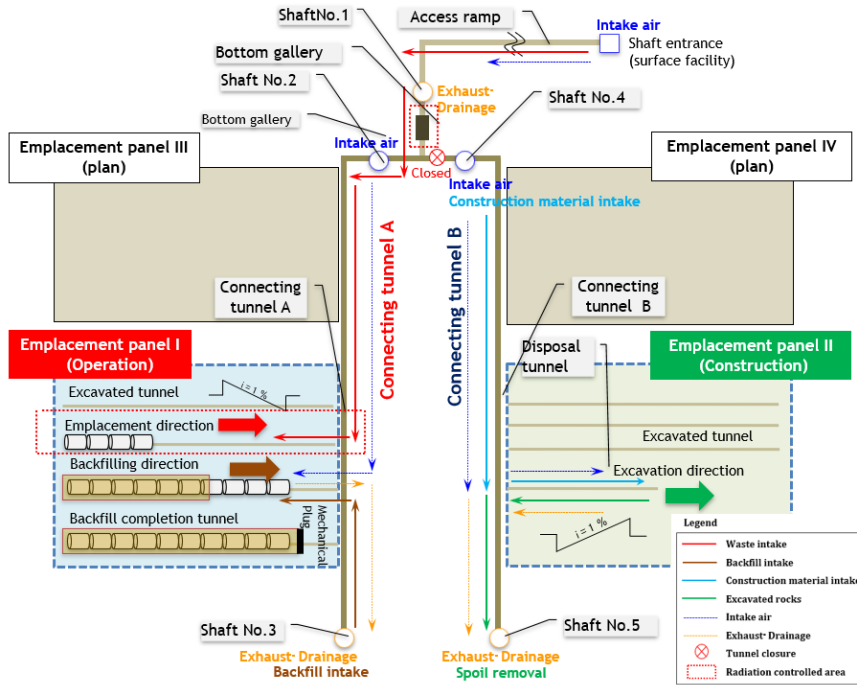


Figure 4.5-23 Conceptual sketch of tunnel layout (HLW DET panels)

修正後 (正)

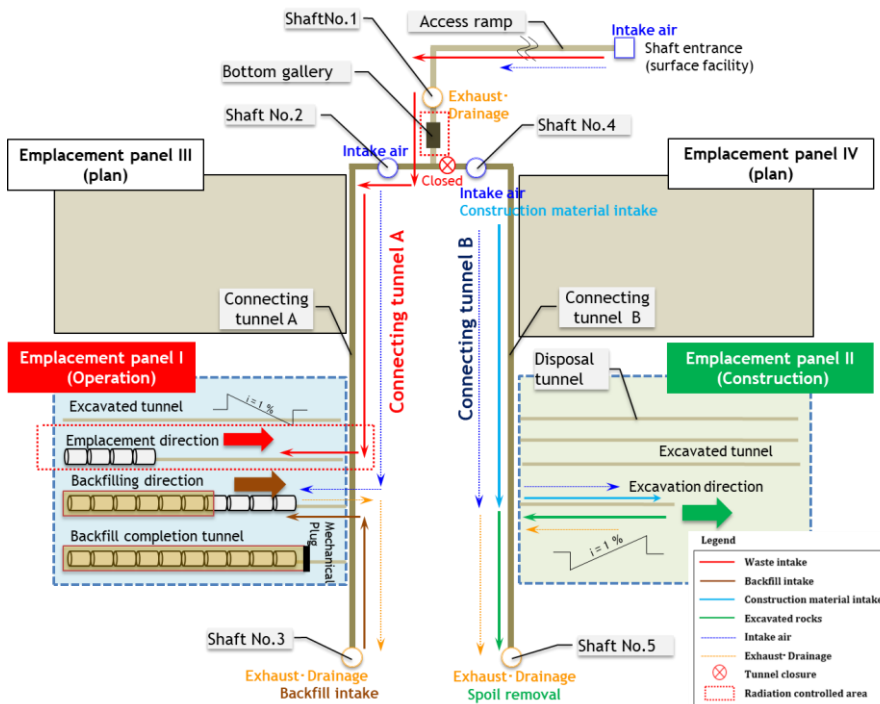


Figure 4.5-23 Conceptual sketch of tunnel layout (HLW DET panels)

修正前 (誤)

**Table 4.5-20 Access roles (H12V/PEM DET panels)**

No.	Name	Function	Ventilation role
<b>Ramp</b>	Ramp	Transport of overpack and buffer or PEM	Air intake
<b>Shaft No.1</b>	Ramp ventilation shaft	Ramp drainage	Exhaust (active)
<b>Shaft No.2</b>	Materials transport shaft A	Construction, backfill materials, personnel and equipment	Air intake
<b>Shaft No.3</b>	Spoil removal shaft A	Excavated spoil, drainage	Exhaust (active)
<b>Shaft No.4</b>	Materials transport shaft B	Construction, backfill materials, personnel and equipment	Air intake
<b>Shaft No.5</b>	Spoil removal shaft B	Excavated spoil, drainage	Exhaust (inactive)

修正後 (正)

**Table 4.5-20 Access roles (H12V/PEM DET panels)**

No.	Name	Function	Ventilation role
<b>Ramp</b>	Ramp	Transport of overpack and buffer or PEM	Air intake
<b>Shaft No.1</b>	Ramp ventilation shaft	Ramp drainage	Exhaust (active)
<b>Shaft No.2</b>	Materials transport shaft A	Construction, personnel and equipment	Air intake
<b>Shaft No.3</b>	Spoil removal shaft A	Excavated spoil, backfill materials and drainage	Exhaust (active)
<b>Shaft No.4</b>	Materials transport shaft B	Construction, personnel and equipment	Air intake
<b>Shaft No.5</b>	Spoil removal shaft B	Excavated spoil, backfill materials and drainage	Exhaust (inactive)

修正前 (誤)

**Table 6.1-5 Selected radionuclides for biosphere assessment**

Nuclide	Half-life (y)	Nuclide	Half-life (y)
C-14	$5.7 \times 10^3$	Pa-233	$7.4 \times 10^{-2}$
Cl-36	$3.0 \times 10^5$	U-232	$6.9 \times 10$
Co-60	5.3	U-233	$1.6 \times 10^5$
Ni-59	$1.0 \times 10^5$	U-234	$2.5 \times 10^5$
Ni-63	$1.0 \times 10^2$	U-235	$7.0 \times 10^8$
Se-79	$3.0 \times 10^5$	U-236	$2.3 \times 10^7$
Sr-90	$2.9 \times 10$	U-238	$4.5 \times 10^9$
Zr-93	$1.5 \times 10^6$	Np-236	$1.5 \times 10^5$
Nb-93m	$1.6 \times 10$	Np-237	$2.1 \times 10^6$
Nb-94	$2.0 \times 10^4$	Pu-236	2.9
Mo-93	$4.0 \times 10^3$	Pu-238	$8.8 \times 10$
Tc-99	$2.1 \times 10^5$	Pu-239	$2.4 \times 10^4$
Pd-107	$6.5 \times 10^6$	Pu-240	$6.6 \times 10^3$
Sn-126	$2.3 \times 10^5$	Pu-241	$1.4 \times 10$
I-129	$1.6 \times 10^7$	Pu-242	$3.8 \times 10^5$
Cs-135	$2.3 \times 10^6$	Pu-244	$8.0 \times 10^7$
Cs-137	$3.0 \times 10$	Am-241	$4.3 \times 10^2$
Pb-210	$2.2 \times 10$	Am-242m	$1.4 \times 10^2$
Po-210	$3.8 \times 10^{-1}$	Am-243	$7.4 \times 10^3$
Ra-226	$1.6 \times 10^3$	<b>Cm-242</b>	<b><math>4.5 \times 10^{-1}</math></b>
Ra-228	5.8	Cm-243	$2.9 \times 10$
Ac-227	$2.2 \times 10$	Cm-244	$1.8 \times 10$
Th-228	1.9	Cm-245	$8.5 \times 10^3$
Th-229	$7.3 \times 10^3$	Cm-246	$4.8 \times 10^3$
Th-230	$7.5 \times 10^4$	Cm-247	$1.6 \times 10^7$
Th-232	$1.4 \times 10^{10}$	Cm-248	$3.5 \times 10^5$
Pa-231	$3.3 \times 10^4$		

Table 6.1-5 Selected radionuclides for biosphere assessment

Nuclide	Half-life (y)	Nuclide	Half-life (y)
C-14	$5.7 \times 10^3$	Pa-233	$7.4 \times 10^{-2}$
Cl-36	$3.0 \times 10^5$	U-232	$6.9 \times 10$
Co-60	5.3	U-233	$1.6 \times 10^5$
Ni-59	$1.0 \times 10^5$	U-234	$2.5 \times 10^5$
Ni-63	$1.0 \times 10^2$	U-235	$7.0 \times 10^8$
Se-79	$3.0 \times 10^5$	U-236	$2.3 \times 10^7$
Sr-90	$2.9 \times 10$	U-238	$4.5 \times 10^9$
Zr-93	$1.5 \times 10^6$	Np-236	$1.5 \times 10^5$
Nb-93m	$1.6 \times 10$	Np-237	$2.1 \times 10^6$
Nb-94	$2.0 \times 10^4$	Pu-236	2.9
Mo-93	$4.0 \times 10^3$	Pu-238	$8.8 \times 10$
Tc-99	$2.1 \times 10^5$	Pu-239	$2.4 \times 10^4$
Pd-107	$6.5 \times 10^6$	Pu-240	$6.6 \times 10^3$
Sn-126	$2.3 \times 10^5$	Pu-241	$1.4 \times 10$
I-129	$1.6 \times 10^7$	Pu-242	$3.8 \times 10^5$
Cs-135	$2.3 \times 10^6$	Pu-244	$8.0 \times 10^7$
Cs-137	$3.0 \times 10$	Am-241	$4.3 \times 10^2$
Pb-210	$2.2 \times 10$	Am-242m	$1.4 \times 10^2$
Po-210	$3.8 \times 10^{-1}$	Am-243	$7.4 \times 10^3$
Ra-226	$1.6 \times 10^3$	Cm-243	$2.9 \times 10$
Ra-228	5.8	Cm-244	$1.8 \times 10$
Ac-227	$2.2 \times 10$	Cm-245	$8.5 \times 10^3$
Th-228	1.9	Cm-246	$4.8 \times 10^3$
Th-229	$7.3 \times 10^3$	Cm-247	$1.6 \times 10^7$
Th-230	$7.5 \times 10^4$	Cm-248	$3.5 \times 10^5$
Th-232	$1.4 \times 10^{10}$		
Pa-231	$3.3 \times 10^4$		

修正前 (誤)

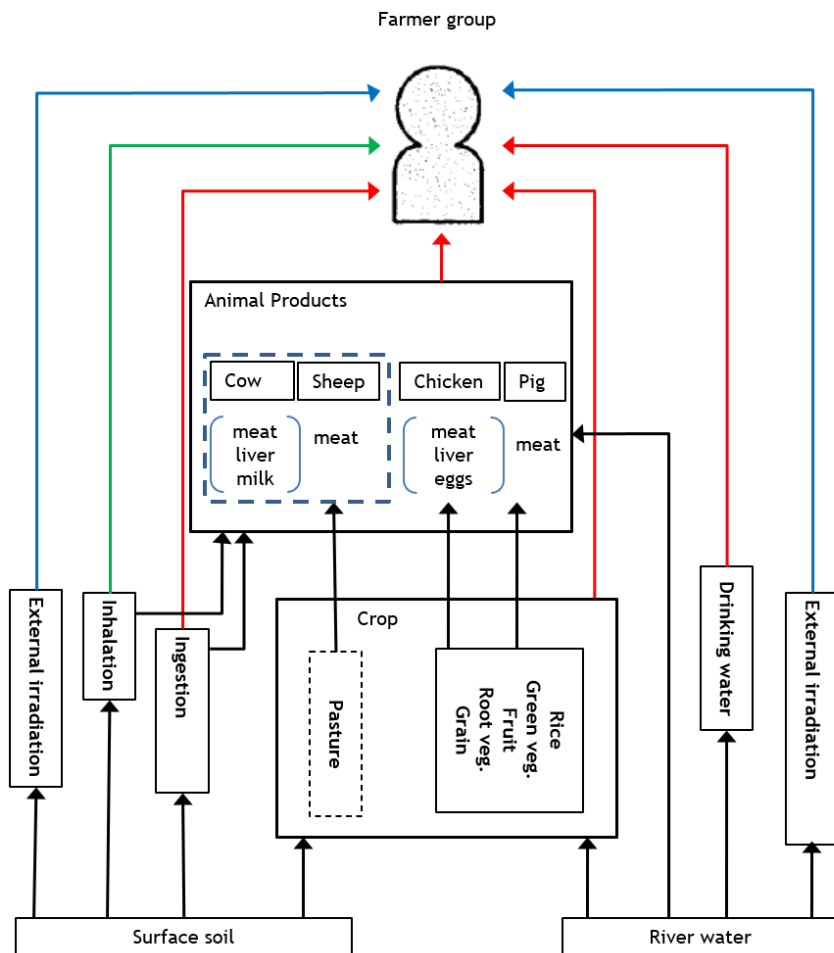


Figure 6.4-20 Example of RN migration and radiation exposure processes in the biosphere (River water GBI, temperate climate, farmer exposure group)

修正後 (正)

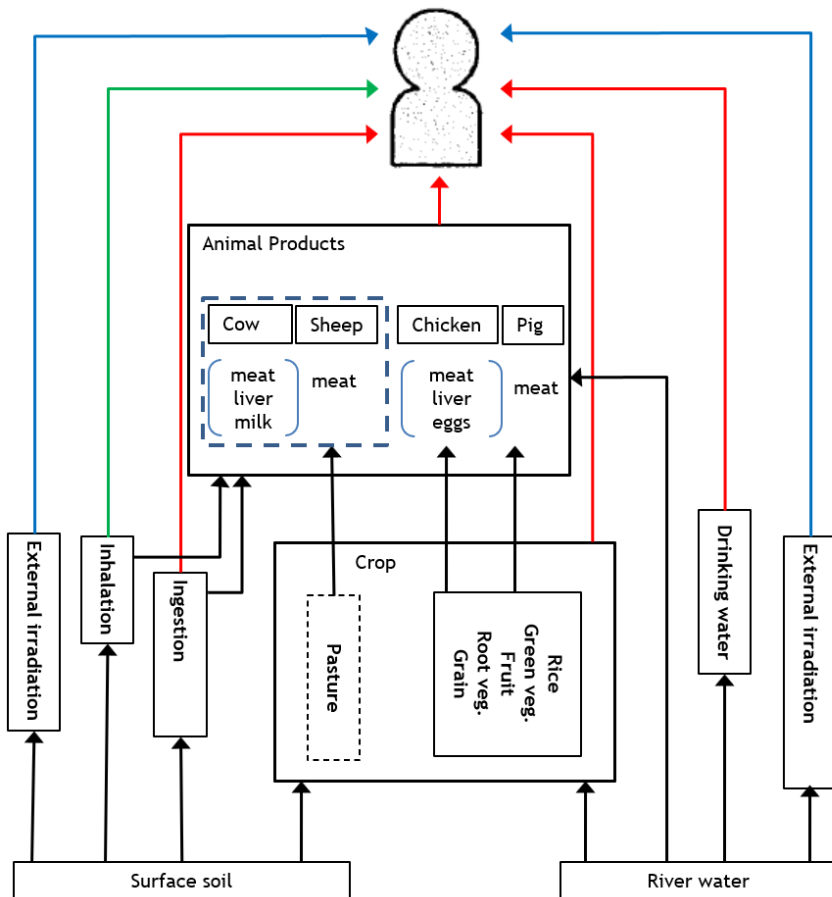
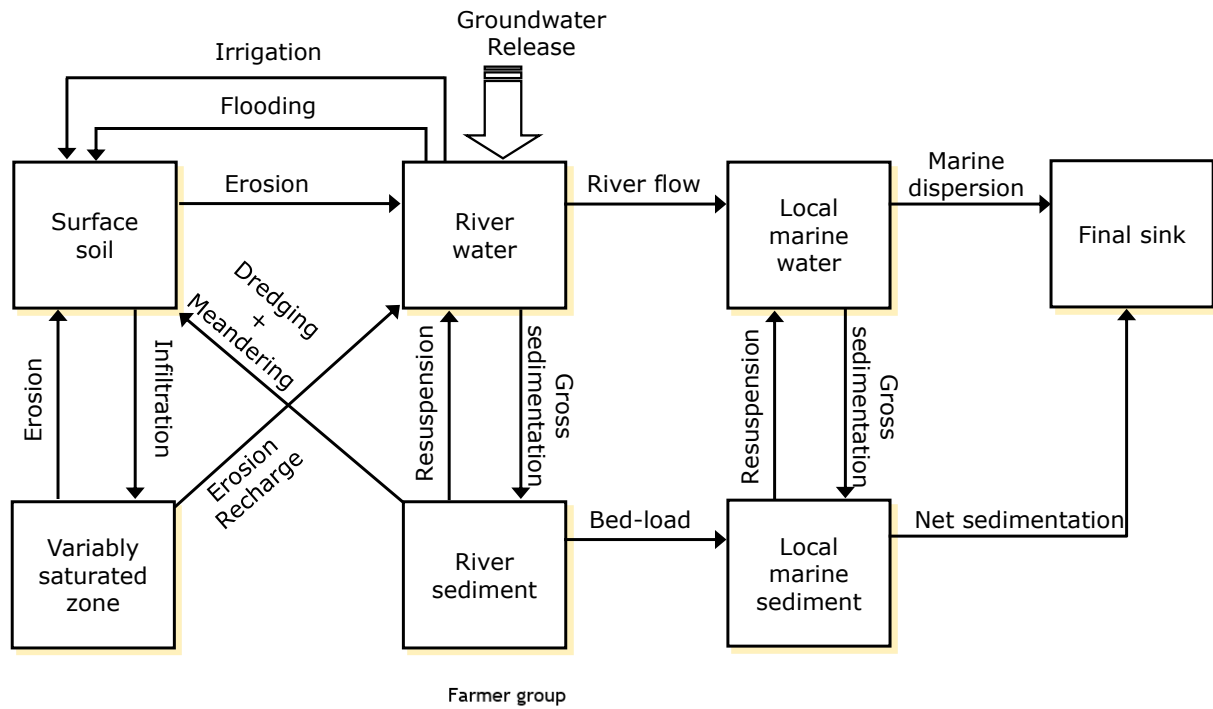


Figure 6.4-20 Example of RN migration and radiation exposure processes in the biosphere (River water GBI, temperate climate, farmer exposure group)

「包括的技術報告書」 誤記等 修正対応表

2023年7月21日 修正箇所

英語版

章	ページ	位置 (行など)	修正前	修正後
3	3-7	上から3行目	(1) Characteristics of a suitable geological environment	(1) Features of geological environments in Japan
3	3-48	Figure 3.3-7	Complex <u>Extent</u>	Complex <u>Matrix composition</u>
3	3-58	Figure 3.3-19 凡例	Hydraulic head (m)	Darcy flux (m/s)
3	3-60	Figure 3.3-21 凡例	凡例とプロットの色が異なる	凡例とプロットの色を統一
3	3-83	Table 3.3-16	Pre-NeogeneとNeogeneの記載が逆転	中央がNeogene、右がPre-Neogene
4	4-22	下から12行目	Grs. <u>1</u> and 4L have no buffer.	Grs. <u>3</u> and 4L have no buffer.
4	4-22	下から10行目	箇条書きのインデント位置がずれている	箇条書きのインデント位置を修正
4	4-23	上から10行目	箇条書きのインデント位置がずれている	箇条書きのインデント位置を修正
4	4-23	上から12行目	箇条書きのインデント位置がずれている	箇条書きのインデント位置を修正
6	6-72	下から6行目	Table 6.3- <u>11</u>	Table 6.3- <u>10</u>
6	6-100	下から13行目	for plutonic rocks and <u>Neogene</u> sediments	for plutonic rocks and <u>Pre-Neogene</u> sediments
6	6-102	下から13～14行目	plutonic rocks and <u>Neogene</u> sediments; for <u>Pre-Neogene</u> sediments	plutonic rocks and <u>Pre-Neogene</u> sediments; for <u>Neogene</u> sediments
6	6-103	上から8行目 (修正後は上から8～9行目)	(plutonic rocks and <u>Neogene</u> sediments)	(plutonic rocks and <u>Pre-Neogene</u> sediments)
6	6-112	上から8行目	Cs, Sr and <u>Ra</u>	Cs, Sr, <u>Ra</u> and <u>Pb</u>
6	6-112	上から9行目	Co, Ni, <u>Pd</u> and <u>Pb</u>	Co, Ni and <u>Pd</u>
6	6-130	Figure 6.4-22 (右上、左下の図)	Estimated dose	Dose limit
6	6-135	下から13行目 (修正後は下から12～13行目)	<u>Neogene</u> sediments	<u>Pre-Neogene</u> sediments
6	6-140	Figure 6.4-26	Estimated dose	Dose limit
6	6-142	Figure 6.4-27	Dose limit for variant scenarios: 300 $\mu$ Sv/y	Dose from natural radiation in Japan: 2,100 $\mu$ Sv/y
6	6-142	Figure 6.4-27	Dose limit for base scenario: 10 $\mu$ Sv/y	Dose limit for variant scenarios: 300 $\mu$ Sv/y
6	6-144	Figure 6.4-28	Dose limit for variant scenarios: 300 $\mu$ Sv/y	Dose from natural radiation in Japan: 2,100 $\mu$ Sv/y
6	6-144	Figure 6.4-28	Dose limit for base scenario: 10 $\mu$ Sv/y	Dose limit for variant scenarios: 300 $\mu$ Sv/y

6	6-146	Figure 6.4-29	Dose limit for variant scenarios: 300 $\mu\text{Sv}/\text{y}$	Dose from natural radiation in Japan: 2,100 $\mu\text{Sv}/\text{y}$
6	6-146	Figure 6.4-29	Dose limit for base scenario: 10 $\mu\text{Sv}/\text{y}$	Dose limit for variant scenarios: 300 $\mu\text{Sv}/\text{y}$
6	6-147	Figure 6.4-30	Estimated dose	Dose limit
6	6-147	Figure 6.4-30 (右上の図)	TRU(waste package <u>B</u> )	TRU(waste package <u>A</u> )
6	6-148	Figure 6.4-31	Dose limit for variant scenarios: 300 $\mu\text{Sv}/\text{y}$	Dose from natural radiation in Japan: 2,100 $\mu\text{Sv}/\text{y}$
6	6-148	Figure 6.4-31	Dose limit for base scenario: 10 $\mu\text{Sv}/\text{y}$	Dose limit for variant scenarios: 300 $\mu\text{Sv}/\text{y}$
7	7-16	下から13行目	the boundary of the site <u>during</u> was significantly lower	the boundary of the site was significantly lower
7	7-18	Figure 7.2-3	Maximum dose ( <u>m</u> Sv/y)	Maximum dose ( <u><math>\mu</math></u> Sv/y)
7	7-19	Figure 7.2-4	Maximum dose ( <u>m</u> Sv/y)	Maximum dose ( <u><math>\mu</math></u> Sv/y)